

# 비정상적 시계열

## 시계열의 비정상성 (nonstationarity)

- 시계열에 추세 또는 계절성이 포함되는 경우 정상성을 만족하지 못한다.

### 비정상성 판단 방법

- 시계열의 시간에 대한 그래프를 보고 시각적으로 판단
- ACF가 시차에 대하여 매우 서서히 감소하는 패턴

- 단위근 검정
- 단위근이 있어 추세 포함  $\rightarrow$  정상 시계열  
단위근이 없으면 비정상적 시계열  
기각  $\times$   $\rightarrow$  비정상적 시계열

### 비정상성 대응 방안

- 차분 (differencing)을 통해 정상적 시계열로 변환
- 함수변환을 통하여 분산 안정화  $\times$  원시계열 : 분산 증가 패턴  $\Rightarrow$  로그 함수 변환
- 분해법으로 추세 및 계절성 제거

\* 단위근:  $\lambda^n = 1$ 을 만족하는  $n$  (최소  $n$  포함)

$$y_t = a_1 y_{t-1} + a_2 y_{t-2} + \dots + a_p y_{t-p} + \varepsilon_t$$

$\hookrightarrow$  특성방정식

$$1 - \lambda^p a_1 - \lambda^{p-2} a_2 - \dots - a_p = 0$$

$\text{obs}(n) = 1 \Rightarrow$  단위근이 있다.

# ARIMA 모형

## 차분 (differencing)

$$Z_{t-1} = BZ_t$$

- 1차 차분: 인접한 두 값의 차이를 산출

$$\Delta Z_t = Z_t - Z_{t-1} = (1 - B)Z_t$$

- 2차 차분

$$\begin{aligned}\Delta^2 Z_t &= \Delta(\Delta Z_t) = \Delta(Z_t - Z_{t-1}) = (Z_t - Z_{t-1}) - (Z_{t-1} - Z_{t-2}) = Z_t - \underbrace{2Z_{t-1}}_{BZ_t} + \underbrace{Z_{t-2}}_{B^1 Z_t} \\ &= (1 - 2B + B^2)Z_t = (1 - B)^2 Z_t\end{aligned}$$

- d차 차분 ( $d = 1, 2, \dots$ )

$$\Delta^d Z_t = (1 - B)^d Z_t$$

# ARIMA 모형

- 차수 d 누적시계열 (integrated process of order d)

- d차 차분 후 시계열이 처음으로 정상적일 때, 원 시계열을 차수 d 누적시계열이라 하고  $I(d)$  로 표기

- ARIMA (autoregressive <sup>누적</sup>integrated moving average) 모형

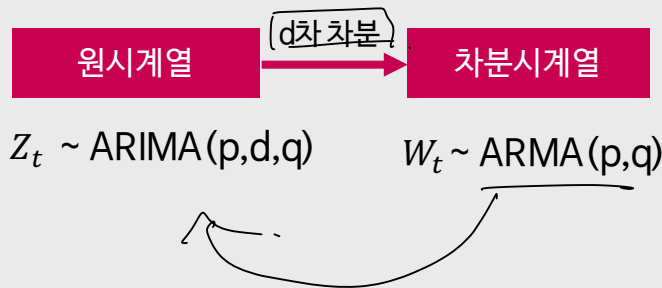
- d차 차분한 시계열이 정상적 ARMA(p,q)모형을 따를 때, 원 시계열이 ARIMA(p,d,q)모형을 따른다고 함.

- 차분시계열  $W_t = (1 - B)^d Z_t$

- 차분시계열이 ARMA(p,q):  $\phi_p(B)W_t = \theta_q(B)a_t$

- 즉, 다음이 성립

$$\phi_p(B)(1 - B)^d Z_t = \theta_q(B)a_t$$



$$\begin{aligned} \times \quad & Z_t - \phi_1 Z_{t-1} - \phi_2 Z_{t-2} - \cdots - \phi_p Z_{t-p} = a_t - \theta_1 a_{t-1} - \theta_2 a_{t-2} - \cdots - \theta_q a_{t-q} \\ \Rightarrow & \Phi_p(B)Z_t = \Theta_q(B)a_t \end{aligned}$$

# ARIMA 모형

## (예) ARIMA(1,1,1) 모형

- 차분 시계열:  $W_t = (1 - B)Z_t \sim ARMA(1,1) \Rightarrow W_t = \phi_1 W_{t-1} + a_t - \theta_1 a_{t-1}$

- 원 시계열:  $Z_t \sim ARIMA(1,1,1) \Rightarrow (1 - \phi_1 B)(1 - B)Z_t = (1 - \theta_1 B)a_t$   
 $\Rightarrow Z_t = (1 + \phi_1)Z_{t-1} - \phi_1 Z_{t-2} + a_t - \theta_1 a_{t-1}$

$$(1 - \phi_1 B) = \phi_p(B) \quad (1 - \theta_1 B) = \theta_q(B)$$

$$\begin{aligned} & - (1 + \phi_1)Z_{t-1} + \phi_1 Z_{t-2} \\ & Z_t - \phi_1 B Z_t - B Z_t + \phi_1 B^2 Z_t \\ & = a_t - \theta_1 B a_t \\ & \quad \quad \quad \underbrace{a_{t-1}} \end{aligned}$$

## (예) ARIMA(0,1,1) 또는 IMA(1,1)

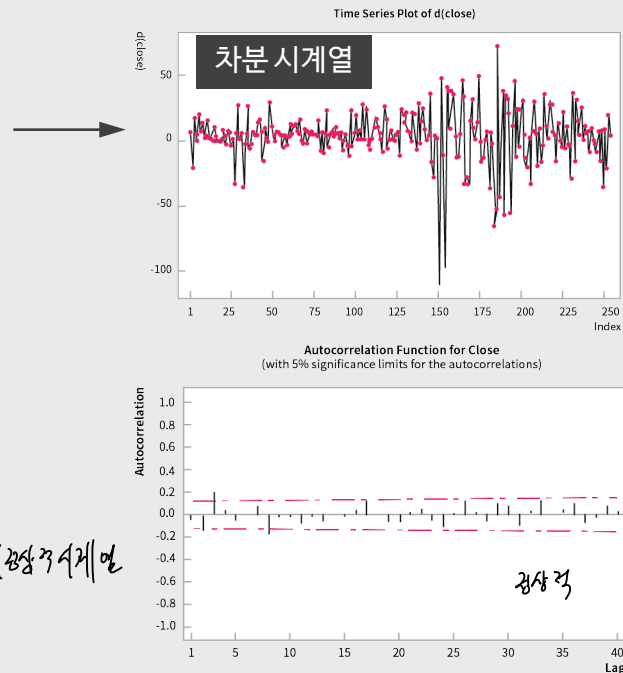
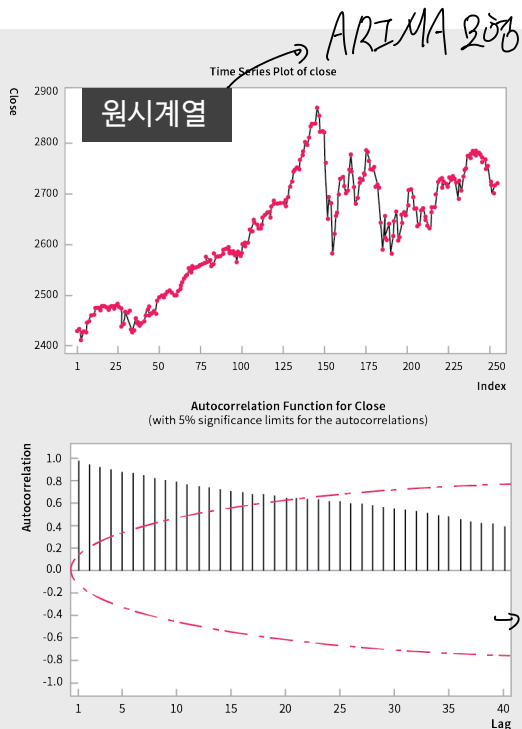
- 차분 시계열:  $W_t = (1 - B)Z_t \sim MA(1) \Rightarrow W_t = a_t - \theta_1 a_{t-1}$

- 원 시계열:  $Z_t \sim ARIMA(0,1,1) \Rightarrow Z_t = Z_{t-1} + a_t - \theta_1 a_{t-1}$

# ARIMA 모형

예 (S&P 200 지수) 아래  
그림은 2017년 7월 3일  
부터 2018년 6월 29일  
까지 미국 S&P 200 지수  
의 종가를 나타낸다.

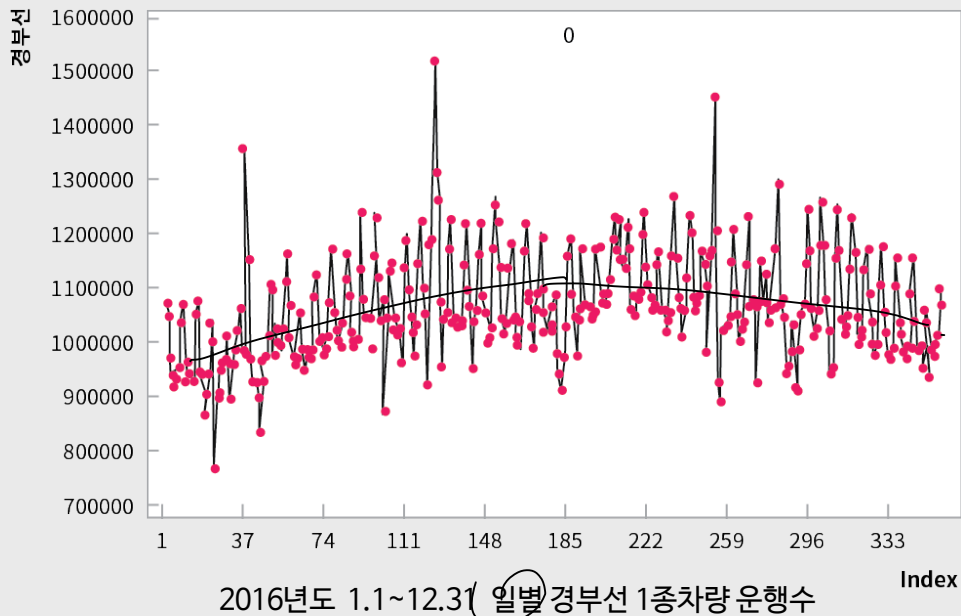
원 시계열과 1차 차분 시  
계열에 대한 ACF를 살펴  
보자



# 계절성 시계열

- 일반적 시계열에는 추세와 계절성이 동시에 존재하는 경우가 많다.
- 추세는 차분으로 제거될 수 있으나 계절성은 여전히 남을 수 있다.
- 이전 ARIMA모형은 비계절성에 대한 것이며 계절성은 별도로 처리하여야 한다.
- 즉 일반적 시계열은 비계절성 ARIMA모형과 계절성 ARIMA모형이 복합된 형태이다.

경부선의 시계열도

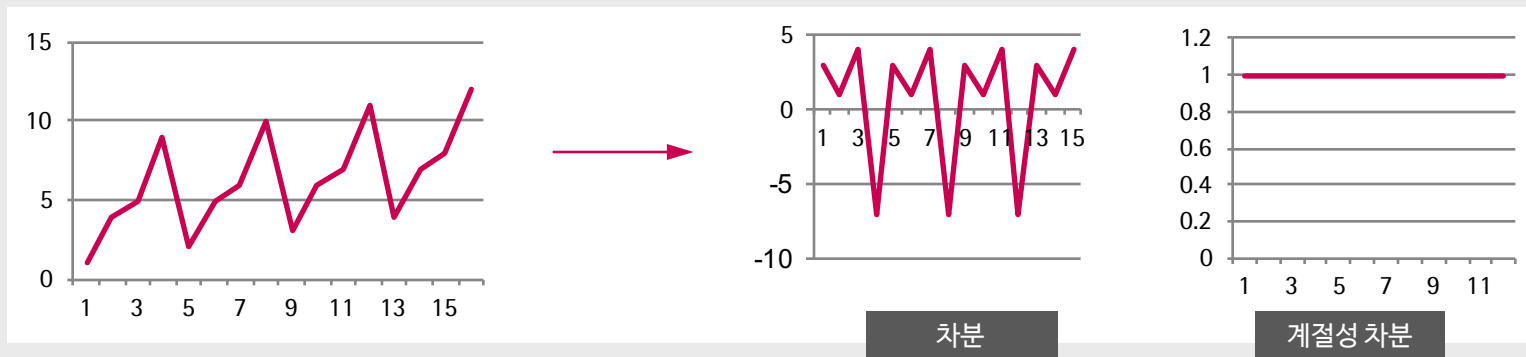


# 계절성 ARIMA 모형

## 계절성 차분 (seasonal differencing)

- 계절성 주기  $s$  (월별데이터:  $s=12$ ; 분기별데이터:  $s=4$ )
- 계절성이 있는 경우 단순 (비계절성) 차분으로는 정상화가 되지 않음
- 1차 계절성 차분: 인근한 두 계절 값의 차이를 산출

$$\Delta_s Z_t = Z_t - Z_{t-s} = (1 - B^s)Z_t$$



# 계절성 ARIMA 모형

## 계절성 ARIMA 모형의 유도 예

- 주기  $s=12$ 를 갖는 추세없는 월별 시계열 고려
- 매년 1월 데이터들만 볼 때 MA(1)모형을 따른다 하자.

$$\text{즉, } Z_t = (1 - \theta B^{12})\alpha_t$$

여기서  $\alpha_t$  들은 오차항으로  $\alpha_t, \alpha_{t-12}, \alpha_{t-24}$  등은 서로 상관관계가 없다.

매년 2월 데이터들도 MA(1)을 따른다 하면 위와 동일한 모형이 된다.

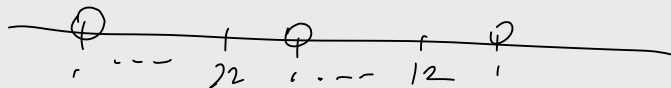
그러나 인근 월의 오차항간에는 상관관계가 있으므로 새로운 모형이 필요하다.

- 오차항  $\alpha_t$  이 다시 MA(1)모형을 따른다 하자. '즉,  $\alpha_t = (1 - \theta B)a_t$  (여기서  $a_t$ 는 백색잡음)
- 위의 두 MA(1)모형을 결합하면 다음과 같다.

$$Z_t = (1 - \theta B)(1 - \theta B^{12})a_t$$

- 이 모형은 비계절성 MA(1)과 계절성 MA(1) 모형이 결합된 형태로 계절성  $ARMA(0,1) \times (0,1)_{12}$  또는 계절성  $ARIMA(0,0,1) \times (0,0,1)_{12}$  라 함.

비계절성      계절성





# 계절성 ARIMA 모형

(예) 계절성  $ARIMA(0, 1, 1) \times (0, 1, 1)_{12}$

비계절성 1차 차분 시계열이  $MA(1)$ 을 따르며 주기 12의 계절성 1차 차분 시계열이  $MA(1)$ 을 따름

$W_t = (1 - B)(1 - B^{12})Z_t$ : 비계절성 1차 차분 및 계절성 1차 차분 시계열

$$W_t = (1 - \theta B)(1 - \Theta B^{12})a_t$$

$$(1 - \beta)(1 - \beta^{12})Z_t = (1 - \theta B)(1 - \Theta B^{12})a_t$$

$$(1 - \beta - \beta^{12} + \beta^{13})Z_t = (1 - \theta B - \Theta B^{12} + \theta \Theta B^{13})a_t$$

$$Z_t = Z_{t-1} + Z_{t-12} - Z_{t-13} + a_t - \theta a_{t-1} - \Theta a_{t-12} + \theta \Theta a_{t-13}$$

- 일반적 계절성 ARIMA 모형

- 표기: 계절성  $ARIMA(p, d, q) \times (P, D, Q)_s$

- 비계절성 부분 d차 차분시  $ARMA(p, q)$

- 주기 s의 계절성 부분 D차 차분시  $ARMA(P, Q)$

- $W_t = (1 - B)^d(1 - B^s)^D Z_t$  라 할 때

$$\underbrace{\phi_p(B)}_{\text{비계절성}} \underbrace{\Phi_P(B^s)}_{\text{계절성}} W_t = \underbrace{\theta_q(B)}_{\text{비계절성}} \underbrace{\Theta_Q(B^s)}_{\text{계절성}} a_t$$

# 계절성 ARIMA 모형

## 모형의 식별 및 추정

(단계 1) 시계열도를 그려보고 추세 및 계절성 존재여부를 판단

(단계 2) 아래사항을 고려하여 적절히 차분 실시

- 추세는 없고 계절성이 있는 경우: 해당 주기에 대한 계절성 차분
- 추세가 있고 뚜렷한 계절성이 없는 경우: 선형추세가 있는 경우 1차 차분, 곡선형태의 추세가 있는 경우 차분 전에 함수 변환 시도
- 추세와 계절성이 있는 경우: 우선 계절성 차분을 실시하고 추세를 다시 검토; 추세가 여전히 남아있는 경우 1차 차분 추가 실시

(단계 3) 차분 시계열에 대한 ACF와 PACF를 바탕으로  $p, q, P, Q$ 를 결정

- 비계절성 계수인  $p, q$ 는 ARMA모형의 경우와 동일한 요령으로 결정
- 계절성 계수인  $P, Q$ 는 주기의 배수에서 나타나는 ACF와 PACF의 패턴을 보고 결정

(단계 4) 모형 파라미터 추정

(단계 5) 잔차 검정 실시

\*여러가지 다른 모형 시도 관라검정 통해  
적당한 모형 찾아냄

# 계절성 ARIMA 모형

## ACF 산출 예

- 계절성  $ARIMA(0, 1, 1) \times (0, 1, 1)_{12}$
- 차분시계열 산출  $W_t = (1 - B)(1 - B^{12})Z_t$
- 모형:  $W_t = (1 - \theta B)(1 - \theta B^{12})a_t = a_t - \theta a_{t-1} - \theta a_{t-12} + \theta\theta a_{t-13}$
- $W_t$  분산

$$\gamma(0) = \text{Var}[W_t] = (1 + \theta^2 + \theta^2 + \theta^2 \theta^2) \sigma_a^2 = (1 + \theta^2)(1 + \theta^2) \sigma_a^2$$

- 시차 k의 자기공분산

$$\gamma(k) = E[W_t W_{t-k}] = E[(a_t - \theta a_{t-1} - \theta a_{t-12} + \theta\theta a_{t-13})(a_{t-k} - \theta a_{t-k-1} - \theta a_{t-k-12} + \theta\theta a_{t-k-13})]$$

- ACF

$$\rho(1) = \frac{\gamma(1)}{\gamma(0)} = \frac{-\theta(1 + \theta^2)\sigma_a^2}{(1 + \theta^2)(1 + \theta^2)\sigma_a^2} = \frac{-\theta}{1 + \theta^2}$$

$$\rho(11) = \frac{\gamma(11)}{\gamma(0)} = \frac{\theta\theta\sigma_a^2}{(1 + \theta^2)(1 + \theta^2)\sigma_a^2} = \frac{\theta\theta}{(1 + \theta^2)(1 + \theta^2)} = \rho(13)$$

$$\rho(12) = \frac{\gamma(12)}{\gamma(0)} = \frac{-\theta(1 + \theta^2)\sigma_a^2}{(1 + \theta^2)(1 + \theta^2)\sigma_a^2} = \frac{-\theta}{1 + \theta^2}$$

$$1 - \theta B a_t - \theta B^{12} a_t + \theta\theta B^{13} a_t.$$

$$\gamma(1) = E[(a_t - \theta a_{t-1} - \theta a_{t-12} + \theta\theta a_{t-13})(a_{t-1} - \theta a_{t-2} - \theta a_{t-13} + \theta\theta a_{t-14})]$$

$$= -\theta E[a_{t-1} a_{t-1}] - \theta\theta^2 E[a_{t-13} a_{t-13}]$$

$$= \sigma_a^2 \times (-\theta)(1 + \theta^2)$$

MA → ACF out off.

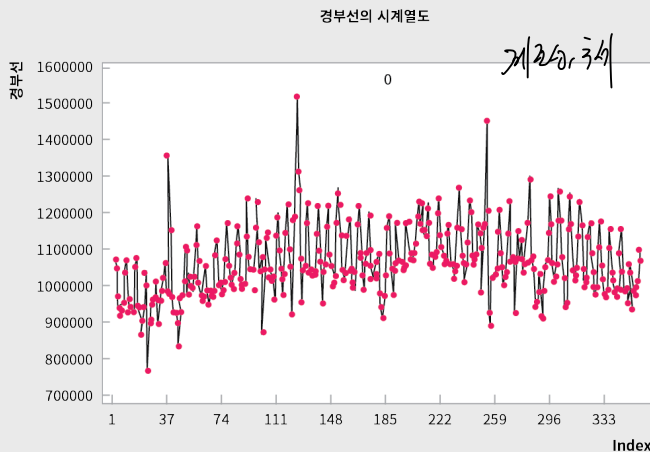
(1, 12, 13) 값 가림

모형이 특성을 모형 수별에 있음

# 계절성 ARIMA 모형

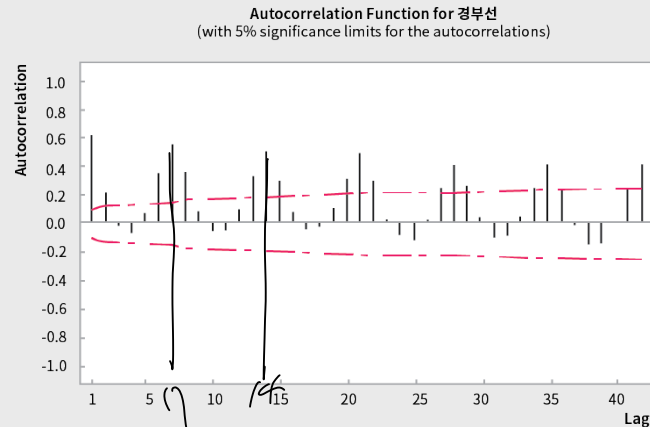
(예 - 일별 경부선 차량운행수) 2016년 1월 1일부터 2016년 12월 31일 1년간 일별 경부선 1종 차량운행수를 나타내고 있다

단계 1



주기 7의 계절성, 약간의 추세

ACF

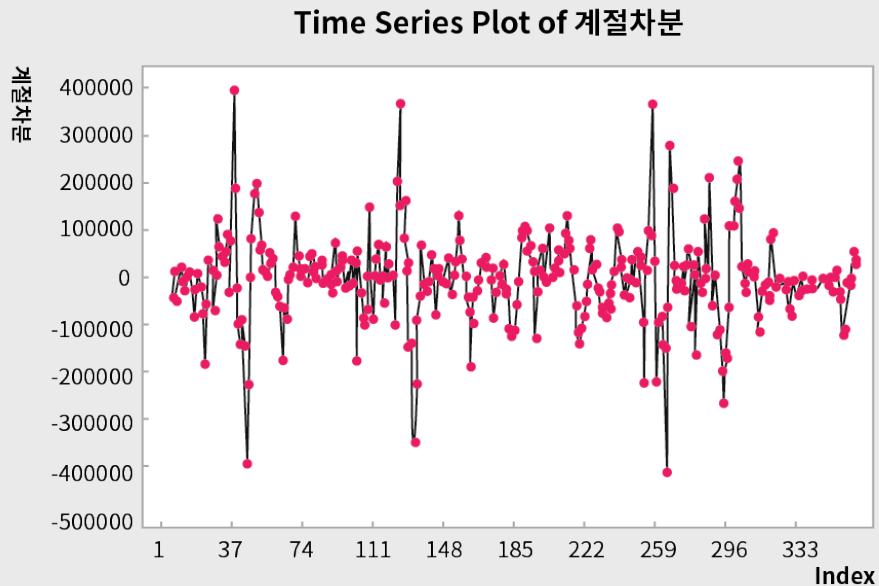


ACF가 주기 7 부근에서 나타나며 서서히 감소

# 계절성 ARIMA 모형

(예 계속 - 일별 경부선 차량운행수)

단계 2



극세 값이 2 이상 3 이하  $\Rightarrow$  추가 차분 X.

계절 (주기 7) 차분 시계열

차분 시계열의 경우 추세와  
계절성이 보이지 않으므로  
정상적으로 간주됨

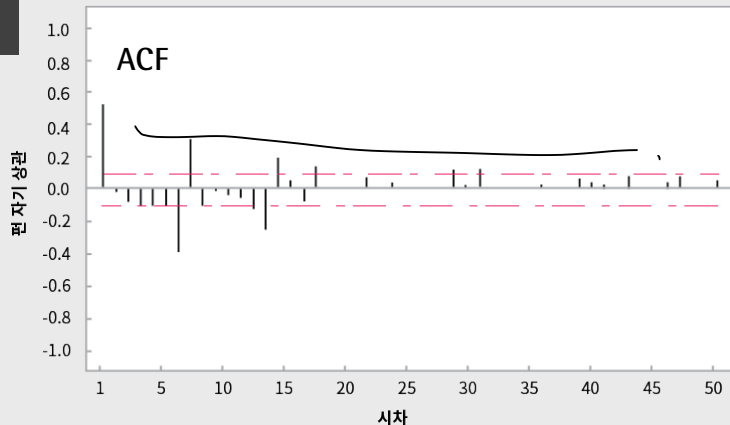
#1

# 계절성 ARIMA 모형

(예 계속 - 일별 경부선 차량운행수)

단계 2

차분시계열에 대한 편 자기 상관 함수  
(편 자기 상관에 대한 5% 유의 한계)

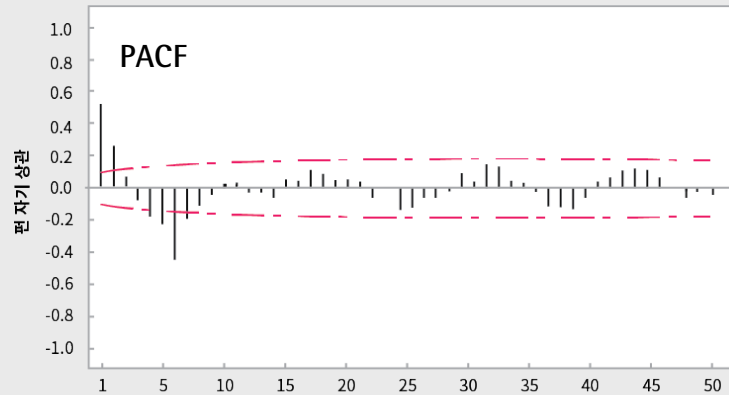


ACF를 볼 때 비계절성 부분은 지수적으로 감소하는

AR(1)형태

따라서 계절성  $ARIMA(1, 0, 0) \times (0, 1, 1)_7$

차분시계열에 대한 편 자기 상관 함수  
(자기 상관에 대한 5% 유의 한계)



PACF를 볼 때 주기 7의 배수에서 지수적으로 감소하므로  
계절성 부분은 MA(1)형태

#1

# 계절성 ARIMA 모형

(예 계속 - 일별 경부선 차량운행수) 모형:  $(1 - \phi B)(1 - B^7)Z_t = (1 - \Theta B^7)a_t$

단계 4		계수추정치	표준오차	T값	p값
	AR1 $\phi$	0.6052	0.0428	14.15	0.000
	SMA17 $\Theta$	0.8721	0.0264	32.99	0.000

단계 5 (잔차검정)	시차	12	24	36	48
	카이제곱통계량	16.6	36.4	49.9	59.9
	p-값	0.084	0.028	0.039	0.081

#1

→ 5%에서 크게하리 않다

⇒ 관하는 백성관음

# 단위근 검정

formula

- 단위근 검정 (unit root test)는 통계적 검정을 통하여 시계열의 정상성 여부를 판정
  - 대표적인 단위근 검정은 ADF (augmented Dickey-Fuller) 검정
  - Dickey and Fuller (1979)가 AR(1)모형에 대해 제안
  - ADF 검정은 Said and Dickey (1984)가 ARMA모형으로 확장한 것
  - 모든 정상적 시계열은 고차원의 AR모형으로 근사될 수 있다고 가정
  - AR(p)모형:  $\phi_p(B)Z_t = a_t$

$$\Rightarrow (\text{단위근 포함}) \phi_p(B) = (1 - B)\phi_{p-1}(B)$$

$$\Rightarrow (1 - B)(1 - \phi_1 B - \dots - \phi_{p-1} B^{p-1})Z_t = a_t$$

$$\Rightarrow (1 - B)Z_t = (1 - B)(\phi_1 B - \dots - \phi_{p-1} B^{p-1})Z_t + a_t$$

$$\Rightarrow \underline{Z_t - Z_{t-1} = \sum_{j=1}^{p-1} \phi_j (Z_{t-j} - Z_{t-j-1}) + a_t}$$



# 단위근 검정

## ADF 검정 (형태 1)

- 다음 모형을 고려

$$Z_t = \phi Z_{t-1} + \sum_{j=1}^{p-1} \varphi_j \Delta Z_{t-j} + a_t \quad (\Delta Z_{t-j} = Z_{t-j} - Z_{t-j-1})$$

- 가설

$$H_0: \phi = 1$$

- 검정통계량

$$T = \frac{\hat{\phi} - 1}{se(\hat{\phi})} \quad \text{왜냐하면 T는 4년}$$

- 위의 통계량 분포는 브라운운동과 관련된 복잡한 형태이나 누적확률분포표가 만들어져 있음

- 판정

〈 - 가설이 기각되면 단위근이 없다고 할 수 있으므로 시계열이 정상적으로 간주  
- 가설이 채택되면 단위근이 있으므로 차분을 취한 시계열을 추후 분석에 활용

# 단위근 검정

## ADF 검정 (형태 2)

$$Z_t = \phi Z_{t-1} + \sum_{j=1}^{p-1} \varphi_j \Delta Z_{t-j} + a_t \quad \text{양변 } -Z_{t-1}$$

$$\Rightarrow \Delta Z_t = (\phi - 1)Z_{t-1} + \sum_{j=1}^{p-1} \varphi_j \Delta Z_{t-j} + a_t$$

$$\Rightarrow \Delta Z_t = \phi^* Z_{t-1} + \sum_{j=1}^{p-1} \varphi_j \Delta Z_{t-j} + a_t \quad (\phi^* = \phi - 1)$$

- 가설

$$H_0: \phi^* = 0$$

- 검정통계량

$$T = \frac{\widehat{\phi^*}}{se(\widehat{\phi^*})}$$

# 단위근 검정 예

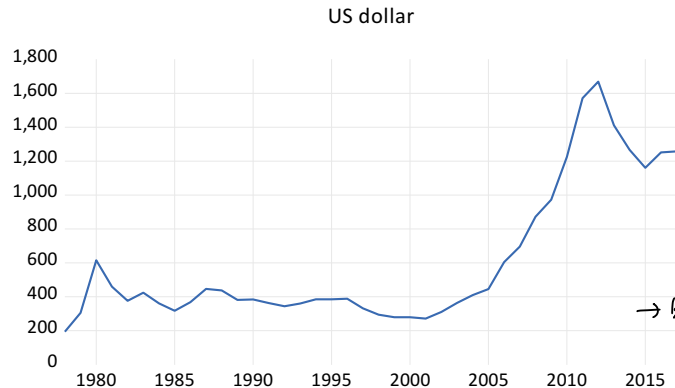
(예 - 금값) 그림은 1978 ~ 2017년 평균 금값 (미화)을 나타낸다. 단위근 검정을 실시하면 아래와 같다.

Null Hypothesis: US\_DOLLAR has a unit root  
Exogenous: Constant  
Lag Length: 1 (Automatic - based on SIC, maxlag=9)

ADF		t-Statistic	Prob.*
Augmented Dickey-Fuller test statistic		-0.942313	0.7635
Test critical values:	1% level	-3.615588	↓ 기각하지 X
	5% level	-2.941145	
	10% level	-2.609066	

\*MacKinnon (1996) one-sided p-values.

unit root가 있다.



# 단위근 검정 예

(예 계속) ADF 추정식은 아래와 같다.

Augmented Dickey-Fuller Test Equation  
Dependent Variable: D(US\_DOLLAR)  
Method: Least Squares  
Date: 07/24/19 Time: 15:19  
Sample (adjusted): 1980 2017  
Included observations: 38 after adjustments

Variable	Coefficient	Std. Error	t-Statistic	Prob.
US_DOLLAR(-1)	-0.043415	0.046073	-0.942313	0.3525
D(US_DOLLAR(-1))	0.414490	0.157314	2.634789	0.0125
C	39.54695	32.36196	1.222019	0.2299
R-squared	0.167961	Mean dependent var	25.06500	
Adjusted R-squared	0.120416	S.D. dependent var	117.7672	
S.E. of regression	110.4493	Akaike info criterion	12.32265	
Sum squared resid	426967.0	Schwarz criterion	12.45193	
Log likelihood	-231.1303	Hannan-Quinn criter.	12.36865	
F-statistic	3.532673	Durbin-Watson stat	1.813049	
Prob(F-statistic)	0.040042			

ADF 추정식:

$$\Delta US_t = 39.55 - 0.0434US_{t-1} + 0.4145\Delta US_{t-1}$$

$$\phi^* = 0$$

# 단위근 검정 예

(예 계속) 금값의 1차 차분 시계열에 대한 단위근 검정

Null Hypothesis: D(US\_DOLLAR) has a unit root  
Exogenous: Constant  
Lag Length: 0 (Automatic - based on SIC, maxlag=9)

	t-Statistic	Prob.*
Augmented Dickey-Fuller test statistic	-4.049396	0.0032
Test critical values: 1% level	-3.615588	
5% level	-2.941145	
10% level	-2.609066	

\*MacKinnon (1996) one-sided p-values.

